

云熱管에서의 入口流量制限裝置가
流体振動에 미치는 影響에 關する 研究

指導教授：朴進吉



韓國海洋大學 船舶機械工学科

우승광。최성국。정재희。김중호

目 次

Nomenclature

1 序 論

2. 運動方程式의 誘導

2.1 無次元靜特性方程式

2.2 無次元動特性方程式

3. 流量制限裝置의 影響

3.1 靜特性曲線에서 K_I 의 效果

3.2 動特性에서 K_I 의 效果

4. 結 論

參考文獻

Nomenclature

A_c : 伝熱管의 斷面積 (m^2)

D_h : hydraulic diameter (m)

f : Fanning의 磨擦係数

g : 重力 加速度 ($9.8 m/sec^2$)

h : Enthalpy, $h_{fg} = h_g - h_f$ (kcal/kg)

j^* : Volumetric flow rate ($m^3/m^2 \cdot sec$)

L_H : 伝熱管의 全長이 (m)

m : 物質流量 (lb/sec)

p^* : 壓力 (kg/cm^2)

P_H : heated perimeter (m)

q'' : 热流束 ($kcal/m^2 \cdot sec$)

Δ : Laplacian operator

t, T : 時間

v : 比体積 $v_{fg} = v_g - v_f$ (l/kg)

V_0 : Velocity scale (m/sec)

Nomenclature

A_c : 伝熱管의 斷面積 (m^2)

D_h : hydraulic diameter (m)

f : Fanning 의 磨擦係數

g : 重力 加速度 ($9.8 m/sec^2$)

h : Enthalpy, $h_{fg} = hg - hf$ (kcal/kg)

j^* : Volumetric flow rate ($m^3/m^2 \cdot sec$)

L_H : 伝熱管의 全長이 (m)

m : 物質流量 (lb/sec)

p^* : 壓力 (kg/cm^2)

P_H : heated perimeter (m)

q'' : 热流束 ($kcal/m^2 \cdot sec$)

Δ : laplacian operator

t, T : 時間

v : 比体積 $v_{fg} = v_g - v_f$ (l/kg)

V_0 : Velocity scale (m/sec)

X : quality

Z : 伝熱管內에서의 任意의 點 (m)

$J_1 \sim J_3$: 2.30式의 積分式

$K_1 \sim K_3$: 常数

N_{Frd} : Froude number

N_{Fr} : Friction number

N_{pc} : Phase-change number

λ^* : 沸騰境界點의 위치 (m)

ρ : 密度, $\rho_f - \rho_g$

τ, θ : 時間 (sec)

ω : 相變化 特性周波數 (sec^{-1})

K_l : local friction factor of the inlet restriction

Subscript

f : 飽和液体

g : 飽和気体

H : heated, homogeneous

i : inlet

0 : initial steady state

δ : 變分

$\langle \cdot \rangle$: 平均

* : 次元의 있는 變數

1. 序 論

產業用 大形 보일러, 原子爐等의 伝熱管에서 発
생하는 2相流의 振動은 管자체의 振動을 유
발할뿐 아니라 過熱斗 소속의 原因이 되므로
安全性, 이에대한 對策이 요구된다.
보통 伝熱管入口에서의 流量制限裝置를 설치하
여 이를 防止하고 있으나 그效果에 대해서는
아직 論衡의 대상이 되고 있다.

本研究에서는 伝熱管에서의 壓力 손실에 대한 理
論式을 유도하고 이를 無次元化한 후 無次元 壓
力斗 流速에 대한 靜特性曲線을 그려서 入口 流
量制限裝置가 靜特性曲線에 미치는 영향을 살펴
보았다.

流体力學及熱力學에 関係되는 몇 가지 파라미터로 設
無次元化하여 流体의 運動을 解析하면 기기로 分析
할 때나 운용할 때 相似法을 適用하여 伝熱管
結果를 응용하는 편리한 利點이 있다. 但 伝熱管
의 安全性을 검토할 경우 靜特性만의 結果를 考
慮할 경우에는 종종 伝熱管의 特性과가 發生
하는 티 이는 靜特性의 안정범위 내에도 動的인
不安全性이 存在하기 때문이다.

伝熱管의 動特性은 壓力波의 伝播速度가 密度波
의 伝播速度에 비하여 수백 배 빠르므로 이는
우선하고 일도파만의 전달을 고려하여 動特性方
程式을 유도하고 線形制御에 사용되는 Nyquist
선도를 그려서 入口 流量裝置가 動特性에 미치는
영향을 조사하였다.

密度波의 移送時間은 고려할 경우 動特性方程式은
비선행이 용으로 定性分析이 관리되나 Nyquist
선도를 이용하면 安全性斗 안정도를 동시에
할 수 있고 파라미터의 調整效果를 分析하는데
우 편리하다.

2. 運動方程式 諸導

2.1 無次元靜特性方程式

伝熱管内에서의 2相流은 2호등의 樣相이 매우
복잡하고 다양하므로 여러 現狀을 수식으로 표현
하여 解析한다는 것은 매우 어려운 일이다. 그러나
아래와 같은 가정 아래 理論式을 유도하면 정도는
다소 멀어지나 개발적인 解析이 가능한 理論式
을 얻을 수 있다.

- 가. 2相流은 雲狀의 物質流이다.
- 나. 2相流은 热力学上 平衡狀態에 있으며 自己蒸發은 무시한다.
- 다. 壓力의 미소 변화에 대하여 流体의 物性值는
변하지 않는다.
- 라. 热流速은 軸方向으로 均一하다.
- 마. 伝熱管은 병렬되어 있다는 조건 아래 定常狀
態에서 管의 入口와 出口의 차압이 一定하다.

위의 가정 아래에서는 Fig 2. 1과 같이 간단히 표현된다.

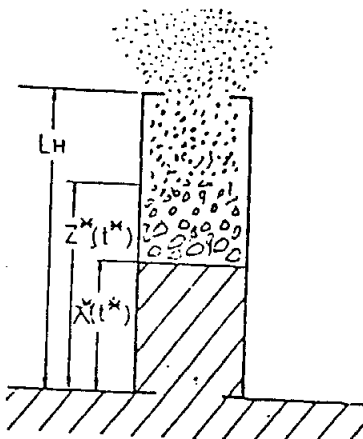


Fig 2/Schematic of a parallel heated channel

L_H 는 伝熱管의 전길이, $\lambda^*(t^*)$ 를 t^* 時間에서의 管의入口에서부터 沸騰境界까지의 거리라 하면 $0 < z^* < x^*(t^*)$ 인 2相領域에서의 유체의 運動方程式은 다음과 같이 주어진다

$$-\frac{\partial P^*}{\partial z^*} = \rho_f \frac{d j_i^*}{dt^*} + \frac{\rho_f \cdot f \cdot (j_i^*)^2}{2 D_H} + \rho_f \cdot g \quad (1)$$

$\lambda^*(t^*) < z^*(t^*) < L_H$ 의 2相領域에서는 (2)式과 같이 주어진다.

$$-\frac{\partial P^*}{\partial z^*} = \langle \rho_H^* \rangle \left(\frac{\partial \langle j^* \rangle}{\partial x^*} + \langle j^* \rangle \frac{\partial \langle j^* \rangle}{\partial z} \right) + \frac{f \cdot \langle \rho_H^* \rangle \langle j^* \rangle^2}{2 D_H} + \langle \rho_H^* \rangle g \quad (2)$$

여기에서 ω 는 特性相變化周波數로 單位時間에 생산되는 증기량을 나타낸다.

$$\omega = \frac{\partial \langle j^* \rangle}{\partial z^*} = \frac{g'' \cdot \rho_H \nu_{fg}}{A_c \cdot h_{fg}} \quad (3)$$

沸騰境界點 $\lambda^*(t^*)$ 은 아래 式과 같이 求해진다.

$$\lambda^*(t^*) = \int_{z^*-0}^{t^*} j_i^*(t') dt' \quad (4)$$

여기에서 θ 는 伝熱量 g'' 冷却流体의 입구엔탈피가 h_i 일 때, 流体가 단위 입구에서 비등경계까지 移送될 때 所要되는 時間으로 h_i 의 热量을 가진 冷却流体가 過冷却을 잊고 포화상태에 到達하는 때 所要되는 時間으로 無次元方程式的 基準時間으로 쓰인다.

$$\theta = \frac{\rho_f \cdot A_c}{g'' \cdot \rho_H} (h_f - h_i) \quad (5)$$

無次元화하기 위한 基準速度는 다음과 같이 정하면 된다.

$$V_0 = \frac{g'' \cdot \rho_H \cdot 24 \cdot h_H}{A_c (h_f - h_i)} \quad (6)$$

V_0 는 伝熱量 g'' , 입구엔탈피 h_i 의 冷却流体가 伝熱管의 出口에서 포화상태가 되는 유속이다. 수식들은 無次元화하기 위하여 各變數는 다음과 같이 無次元화한다.

$$z = z^* / L_H \quad (7a)$$

$$t = t^* / \theta \quad (7b)$$

$$\langle j \rangle = \langle j^* \rangle / V_0 \quad (7c)$$

$$\lambda(t) = \lambda^*(t^*) / L_H \quad (7d)$$

$$\langle \rho \rangle = \langle \rho^* \rangle / \rho_f \quad (7e)$$

$$P = P^* / \rho_f \cdot V_o^2 \quad (7f)$$

필요한 몇 가지 無次元數는 다음과 같이 정한다.

$$N_{Fd} = \frac{V_o^2}{g \cdot L_H} = \left[\frac{g'' \cdot P_H \cdot 24}{A_c \cdot (h_f - h_i)} \right]^2 \cdot \frac{L_H}{g} \quad (8a)$$

$$N_{Fr} = \frac{f \cdot L_H}{2 \cdot D_H} = \frac{2 j_e (h_f - h_i)}{2 f \cdot h_{fg}} = \frac{\partial \langle j \rangle}{\partial z} \quad (8b)$$

$$N_{Pr} = \frac{C \cdot L_H}{V_o} = \frac{2 f_g (h_f - h_i)}{2 f \cdot h_{fg}} = \frac{\partial \langle j \rangle}{\partial z} \quad (8.c)$$

(7)式과 (8)式을 利用하여 (1)式과 (2)式을 無次元화하면 (9)과 (10)式을 얻는다.

$$-\frac{\partial P}{\partial z} = \frac{d j_e}{dt} + N_{Fr} j_e^2 + N_{Fd}^{-1} \quad (9)$$

$$-\frac{\partial P}{\partial z} = \langle \rho_H \rangle \left[\frac{\partial \langle j \rangle}{\partial t} + \langle j \rangle \frac{\partial \langle j \rangle}{\partial z} + N_{Fr} \langle j \rangle^2 + N_{Fd}^{-1} \right] \quad (10)$$

위 (9)式과 (10)式을 積分하면 伝熱管의 流相 및 2相流領域에서의 無次元 壓力降下 속률을 얻을 수 있다.

$$\Delta P_{1,p} = \int_0^{A(t)} -\frac{\partial P}{\partial z} dz = \lambda(t) \left[\frac{d j_e}{dt} + N_{Fr} j_e^2 + N_{Fd}^{-1} \right] \quad (11)$$

$$\Delta P_{2,p} = \int_{A(t)}^1 -\frac{\partial P}{\partial z} dz = \int_{A(t)}^1 \langle \rho_H \rangle \left[\frac{\partial \langle j \rangle}{\partial t} + \langle j \rangle \frac{\partial \langle j \rangle}{\partial z} + N_{Fr} \langle j \rangle^2 + N_{Fd}^{-1} \right] dz \quad (12)$$

(8c)式은 2相流내에서 단위길이당 2相流의 無次元 유속 변화율로서 積分하면 流速을 求할수 있다

$$\langle j \rangle = \frac{dz}{dt} = j_e(t) + N_{pc} [z - \lambda(t)] \quad (13)$$

위式으로부터 j_e 를 求차면

$$z = \lambda(t) + \int_0^{t'} e^{N_{pc} \cdot t' j_e(t-t'-1)} dt' \quad (14)$$

$z^* = L_H$ 일 경우에는

$$z = l = \lambda(t) + \int_0^{t^*} e^{N_{pc} \cdot t' j_e(t-t'-1)} dt' \quad (15)$$

위式들에서 t' 및 $\lambda(t)$ 은 密度波가 $\lambda(t)$ 즉 沸騰境界로 부터 z^* 및 L_H 점에 到達할때 까지 소요되는 時間을 기준시간으로 나눈 無次元 時間들이다. 2相流의 幹度(dryness fraction) X^* 는 아래式으로 주워진다.

$$\frac{\partial \langle X^* \rangle}{\partial t} + \langle j^* \rangle \frac{\partial \langle X^* \rangle}{\partial z^*} - N_{pc} \langle X^* \rangle = - \frac{V_f}{2j_g} \quad (16)$$

위식을 無次元化하면

$$\frac{\partial \langle X \rangle}{\partial t} + \langle j \rangle \frac{\partial \langle X \rangle}{\partial z} - N_{pc} \langle X \rangle = N_{pc} \frac{V_f}{2j_g} \quad (17)$$

(17)式은 近似的으로 (28)式과 같이 表現할 수 있다

$$\frac{dx}{dt'} \triangleq N_{pc} [\langle X \rangle + \frac{V_f}{2j_g}] \quad (18)$$

(18)式의 解를 求하면

$$\langle X \rangle = \frac{V_f}{2j_g} [e^{N_{pc} \cdot t'} - 1] \quad (19)$$

위式에서 無次元密度를 求하면

$$\langle \rho_h(z, t) \rangle \triangleq \frac{1}{1 + \frac{V_f}{2j_g} \langle X \rangle} = e^{-N_{pc} \cdot t'} \quad (20)$$

(4)式을 이분하여 dz 를 求하면

$$dz = \frac{dz}{dt} \cdot dt' = e^{N_{pc} \cdot t'} j_i(t-t'-1) \cdot dt' \quad (21)$$

(21)式에 (20)式을 代入하면

$$dz = \frac{1}{\langle \rho_h \rangle} j_i(t-t'-1) dt' \quad (22)$$

(22)式을 (2)式에 代入하면 2相流領域에서의 無次元 壓力損失은 無次元 시간 참수로 表現할 수 있다.

$$\Delta P_{\text{loss}} = \int_0^{t''(z)} j_i(t-t'-1) \left[\frac{\partial \langle j \rangle}{\partial t} + \langle j \rangle \frac{\partial \langle j \rangle}{\partial z} + N_{fr} \langle j \rangle^2 + N_{fr} j^2 \right] dt' \quad (23)$$

伝熱管의 入口로부터 沸騰境界까지의 無次元 거리 $\lambda(t)$ 는 다음式으로 주어진다.

$$\lambda(t) = \int_0^t j_i(t-t') dt \quad (24)$$

위式을 이분하면

$$\frac{d\lambda(t)}{dt} = j_i(t) - j_i(t-1) \quad (25)$$

2相流의 無次元 速度과 加速度를 求하면 아래와 같다

$$\frac{\partial \langle j \rangle}{\partial t} + \langle j \rangle \frac{\partial \langle j \rangle}{\partial z} \triangleq \frac{d \langle j \rangle}{dt'} = \frac{d}{dt'} [j_i(t) + N_{fr}(z - \lambda(t))]$$

-48-

$$= \frac{d\bar{j}_z(t)}{dt} + N_{pc} [j_z(t) + N_{pc} (z - \lambda(t))] - N_{pc} \frac{d\lambda}{dt} \quad (26)$$

(26) 式에 (25) 式을 대입하여 整理하면

$$\frac{\partial \langle j \rangle}{\partial t} + \langle j \rangle \frac{\partial z}{\partial t} = \frac{d\bar{j}_z}{dt} + N_{pc} \cdot j_z(t-1) + N_{pc}^2 (z - \lambda(t)) \quad (27)$$

(23) 式을 제곱하면

$$\langle j \rangle^2 = j_z^2 + 2N_{pc} \cdot (z - \lambda(t)) \cdot j_z + N_{pc}^2 \cdot (z - \lambda(t))^2 \quad (28)$$

(27) 式 및 (28) 式을 (23) 式에 대입하면 2 相 流의 無次元 壓力 降下 損失을 비교해 간단히 方程式으로 표현할 수 있다.

$$\Delta P_{2\phi} = \left[\frac{d\bar{j}_z}{dt} + N_{pc} \cdot j_z(t-1) + N_{fir} j_z^2 + N_{fd}^{-1} \right] J_1 + \left[2N_{fir} \cdot N_{pc} j_z + N_{pc}^2 \right] J_2 + N_{pc}^2 \cdot N_{fir} \cdot J_3 \quad (29)$$

여기에서

$$J_1 = \int_0^{z(t)} j_z(t-t'-1) dt' \quad (30a)$$

$$J_2 = \int_0^{z(t)} [z - \lambda(t')] \cdot j_z(t-t'-1) dt' = \int_0^{z(t)} \int_0^{t'} e^{N_{pc} \cdot t'} \cdot j_z(t-t'-1)^2 dt' dt \quad (30b)$$

$$J_3 = \int_0^{z(t)} [z - \lambda(t')]^2 \cdot j_z(t-t'-1) dt' = \int_0^{z(t)} \int_0^{t'} e^{2 \cdot N_{pc} \cdot t'} \cdot j_z(t-t'-1)^3 dt' dt \quad (30c)$$

(29) 式은 (11) 式을 확장하면 伝熱管 内에서의 無次元 壓力 降下 損失을 구할 수 있다.

$$\Delta P_\phi = \Delta P_{1\phi} + \Delta P_{3\phi}$$

$$= (\lambda + J_1) \frac{d\bar{j}_z}{dt} + N_{pc} \cdot J_1 \cdot j_z(t-1) + N_{pc}^2 \cdot J_2 + N_{fd}^{-1} (\lambda + J_1) + N_{fir}$$

$$[j_z(\lambda + J_1) + 2N_{pc} \cdot J_2 \cdot j_z + N_{pc}^2 \cdot J_3] \quad (31)$$

定常 狀態에서는 $\frac{d\bar{j}_z}{dt} = 0$ 이므로 伝熱管의 無次元 壓力 손실을 다음과 같이 구워진다.

$$\Delta P_\phi = N_{pc} \cdot j_{z0} \cdot (1 - \lambda_0) + N_{fd}^{-1} (j_{z0} \cdot z_0 + \lambda_0) + N_{fir} [j_{z0}^2 + 0.5 j_{z0} + N_{pc} (1 - \lambda_0)^2] \quad (32)$$

만약 전열판에 入口 流量制限裝置가 설치되었을 경우 자동의 법칙을 적용하여 공부 강하를 구하면

$$\Delta P_{local}^* = \frac{1}{2} K_I j_{\lambda_0}^2 \quad (33)$$

따라서 정상 상태에서 무차원화된 국부 압력 손실은

$$\Delta P_{local} = \frac{1}{2} K_I j_{\lambda_0}^2 \quad (34)$$

입구 流量制限装置가 설치되었을 경우에 정상 상태에서 전열관의 무차원 전압력 손실은 (32)式과 (34)式을 승한 것으로

$$\Delta P = N_{pc} j_{\lambda_0} (1 - \lambda_0) + N_{fd}^{-1} (j_{\lambda_0} z_0 + \lambda_0) + N_{fr} [j_{\lambda_0}^2 + 0.5 j_{\lambda_0} N_{pc} (1 - \lambda_0^2)] + \frac{1}{2} K_I j_{\lambda_0}^2 \text{ 같이 표현된다.} \quad (35)$$

2.2 無次元 動特性方程式

2相流의 動特性方程式은 (30)式을 이분하여 2次項以上의 것을 無視하면 安全性 解析에 필요한

線形의 動特性方程式을 얻을 수 있다.

(30)式을 이분한 후 Laplace 변환하면

$$\begin{aligned} \delta \Delta P_d(s) &= \delta \Delta P_{dp}(s) + \delta P_{db}(s) = (\lambda_0 + j_{\lambda_0} \cdot z_0) \cdot s \delta j_{\lambda}(s) + 2 \cdot N_{fr} \cdot j_{\lambda_0} \delta j_{\lambda}(s) \\ &\quad + (N_{fd}^{-1} + N_{fr} \cdot j_{\lambda_0}^2) \cdot \delta \lambda(s) + N_{pc} \cdot j_{\lambda_0} \cdot 2 \cdot e^s \delta j_{\lambda}(s) \\ &\quad + (N_{pc} \cdot j_{\lambda_0} + N_{fd}^{-1} + N_{fr} \cdot j_{\lambda_0}^2) \cdot \delta J_1(s) + (N_{pc}^2 + 2 \cdot N_{pc} \cdot N_{fr} \cdot j_{\lambda_0}) \\ &\quad \cdot \delta J_2(s) + N_{pc}^2 \cdot N_{fr} \cdot \delta J_3(s) \end{aligned} \quad (36)$$

(24)式을 이분한 후 Laplace 변환하면

$$\begin{aligned} \delta \lambda(s) &= \int_0^\infty e^{-ts} \int_0^t \delta j_{\lambda}(t-t') dt' dt = \int_0^t e^{-st} \left[\int_0^{t'} e^{-st(t-t')} \delta j_{\lambda}(t-t') dt dt' \right. \\ &\quad \left. + \int_{t'}^\infty e^{-st(t-t')} \delta j_{\lambda}(t-t') dt dt' \right] = \frac{1-e^{-st}}{s} \delta j_{\lambda}(s) \end{aligned} \quad (37)$$

(5)式에서 $T(t)$ 을 求하면

$$T(t) = N_{pc}^{-1} \log \{ 1 + N_{pc} (1 + \lambda) / j_{\lambda} \} \quad (38)$$

(8)式을 이분한 후 Laplace 변환하면

$$\begin{aligned} \delta T(s) &= \frac{-e^{-N_{pc} \cdot z_0}}{j_{\lambda_0}} \delta \lambda(s) - \frac{e^{-N_{pc} \cdot z}}{j_{\lambda_0}} \int_0^\infty e^{N_{pc} \cdot t} \int_0^\infty e^{-st} \delta j_{\lambda}(t-t') dt dt' \\ &= \frac{-e^{-N_{pc} \cdot z_0}}{j_{\lambda_0}} \delta \lambda(s) - \frac{e^{-s} (e^{z_0 \cdot (1/N_{pc} - s)} - 1)}{(N_{pc} - s) \cdot j_{\lambda_0}} \delta j_{\lambda}(s) \end{aligned} \quad (39)$$

(30) 式 들은 이론 한 후 Laplace 변환 하면

$$\begin{aligned} dJ_1 &= j_{\lambda_0} \cdot \delta \zeta(s) + L \left[\int_0^{\infty} d\bar{j}_{\lambda}(t-t') dt' \right] = \frac{e^{-s}(1-e^{-\lambda_0 s})}{s} d\bar{j}_{\lambda}(s) \\ &\quad - \frac{e^{-Npc \cdot \lambda_0}(1-e^{-s})}{s} d\bar{j}_{\lambda}(s) - \frac{e^{-s}(e^{\lambda_0 s}-e^{-Npc \cdot \lambda_0})}{(Npc-s)e^{Npc \cdot \lambda_0}} d\bar{j}_{\lambda}(s) \end{aligned} \quad (40)$$

$$\begin{aligned} dJ_2(s) &= j_{\lambda_0} (1-\lambda_0) \delta \zeta(s) + \frac{2 \cdot j_{\lambda_0}^2}{Npc} L \left[\int_0^{\infty} (e^{Npc \cdot t'} - 1) \cdot d\bar{j}_{\lambda}(t-t') dt' \right] - \\ &\quad j_{\lambda_0} \cdot L \left[\int_0^{\infty} \int_0^{\infty} e^{Npc \cdot t''} d\bar{j}_{\lambda}(t-t''-1) dt' dt'' \right] - j_{\lambda_0} \cdot L \left[\int_0^{\infty} \int_0^{\infty} d\bar{j}_{\lambda}(t-t'-t'') dt' dt'' \right] \\ &\quad - \frac{2 \cdot j_{\lambda_0} \cdot e^{-s}(1-e^{-\lambda_0 s})}{Npc \cdot (s-Npc)} d\bar{j}_{\lambda}(s) - \frac{2 \cdot j_{\lambda_0} \cdot e^{-s}(1-e^{-\lambda_0 s})}{Npc \cdot s} - \\ &\quad \frac{(1-\lambda_0)(1-e^{-s})e^{-Npc \cdot \lambda_0}}{s} d\bar{j}_{\lambda}(s) - \frac{(e^{-s}-1)(e^{-\lambda_0 s}-1)j_{\lambda_0}}{s^2} d\bar{j}_{\lambda}(s) \\ &\quad - \frac{(1-\lambda_0)e^{-s}(e^{-\lambda_0 s}-e^{-\lambda_0 s})}{(Npc-s)e^{Npc \cdot \lambda_0}} d\bar{j}_{\lambda}(s) - \frac{e^{-s} \{ e^{(Npc-s) \cdot \lambda_0} (Npc-s) \cdot \lambda_0 + j_{\lambda_0} \}}{(Npc-s)^2} \end{aligned}$$

$$d\bar{j}_{\lambda}(s) \quad (41)$$

$$\begin{aligned} dJ_3(s) &= j_{\lambda_0} (1-\lambda_0^2) \delta \zeta(s) + \frac{j_{\lambda_0}^3}{Npc^2} L \left[\int_0^{\infty} (e^{Npc \cdot t'} - 1)^2 d\bar{j}_{\lambda}(t-t'-1) dt' \right] \\ &\quad - \frac{2j_{\lambda_0}^2}{Npc} \cdot L \left[\int_0^{\infty} \int_0^{\infty} d\bar{j}_{\lambda}(t-t'-t'') dt' dt'' + \int_0^{\infty} \int_0^{\infty} e^{Npc \cdot t'} d\bar{j}_{\lambda}(t-t'-t'') dt' dt'' + \right. \\ &\quad \left. (t-t'-1) dt' dt + \int_0^{\infty} \int_0^{\infty} e^{Npc \cdot t'} d\bar{j}_{\lambda}(t-t'-t'') dt' dt'' + \right. \\ &\quad \left. \int_0^{\infty} e^{Npc \cdot t'} \int_0^{\infty} e^{Npc \cdot t''} d\bar{j}_{\lambda}(t-t''-1) dt' dt'' \right] \\ &= \frac{3j_{\lambda_0}^2}{Npc^2} \left\{ \frac{e^{-s}(e^{(Npc-s) \cdot \lambda_0} - 1)}{(2Npc-s)} \right\} d\bar{j}_{\lambda}(s) - \frac{6j_{\lambda_0}^2}{Npc} \left\{ \frac{e^{-s}(e^{(Npc-s) \cdot \lambda_0} - 1)}{(Npc-s)} \right\} \\ &\quad d\bar{j}_{\lambda}(s) + \frac{3j_{\lambda_0}^2}{Npc} \left\{ \frac{e^{-s}(1-e^{-\lambda_0 s})}{s} \right\} d\bar{j}_{\lambda}(s) - \frac{(1-\lambda_0)^2 \cdot e^{-Npc \cdot \lambda_0} (1-e^{-s})}{s} d\bar{j}_{\lambda}(s) \\ &\quad - \frac{(1-\lambda_0)^2 \cdot e^{-s} (e^{(Npc-s) \cdot \lambda_0} - (Npc-s) \cdot \lambda_0 - 1)}{(Npc-s)e^{Npc \cdot \lambda_0}} d\bar{j}_{\lambda}(s) \\ &\quad - \frac{2j_{\lambda_0}^2 (e^{-s} - 1) (e^{(Npc-s) \cdot \lambda_0} - 1)}{Npc(s-Npc) \cdot s} d\bar{j}_{\lambda}(s) - \frac{2j_{\lambda_0}^2 \cdot e^{-s}}{Npc(Npc-s)} \left\{ \frac{e^{-s}}{(2Npc-s)} \right\} \end{aligned}$$

$$\frac{(e^{(2Npc-s)z_0} - 1)}{(2Npc - 1)} - \frac{(e^{Npcz_0} - 1)}{Npc} \cdot \delta j_i(s) \quad (42)$$

(4) 式을 이분한 후 Laplace 변환하면 다음과 같이 표 현된다.

$$\Delta P_{local}(s) = K_i j_i \cdot \delta_i(s) \quad (43)$$

(37) · (40) · (41) · (42) 式들을 (6) 式에 (43) 式을 대입하면 유동시간을 고려한 2 相流의 우차원 등 특성을 나타낸 전달함수를 다음과 같이 얻을 수 있다.

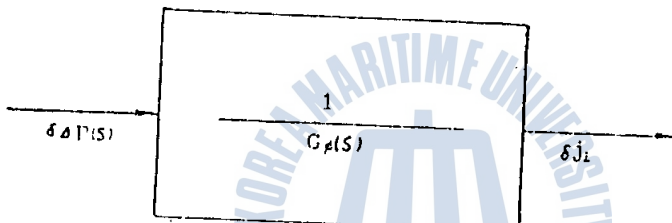


Fig 2.2 Transfer function of 2_f flow in a parallel heated channel

$$G_{2\phi}(s) = \frac{\delta j_i(s)}{\delta \Delta P(s)} = \frac{1}{G_\phi(s)} \quad (\dots 44)$$

$$\begin{aligned} G_\phi(s) &= (\lambda_0 + j_i \omega_0) \cdot s + \{ 2N_f j_i \omega_0 + Npc^{-2} j_i \omega_0 \cdot e^{-s} \} \\ &\quad + [(N_f d' + N_f r j_i \omega_0) (1 - e^{-s}) + e^{-s} (1 - e^{-2\omega_0 s}) (K_1 + 2j_i \omega_0 \cdot Npc^{-1} K_2)] \\ &\quad + 3j_i \omega_0 \cdot Npc^{-2} \cdot K_3 - e^{-Npc \cdot 2\omega_0} (1 - e^{-s}) \{ K_1 + (1 - \lambda_0) K_2 + (1 - \lambda_0)^2 K_3 \} \\ &\quad + \{ (1 - e^{-s}) (e^{-2\omega_0 s} - 1) (j_i \omega_0 K_2 + 2j_i \omega_0 + 2j_i \omega_0^2 Npc^{-1} K_3) \} s^{-2} + \\ &\quad + [e^{-s} (1 - e^{(Npc - s) 2\omega_0}) (2j_i \omega_0 \cdot Npc^{-1} \cdot K_2 + 6j_i \omega_0 \cdot Npc^{-2} \cdot K_3)] \\ &\quad - e^{-s} (e^{-2\omega_0 s} - e^{Npc \cdot 2\omega_0}) e^{Npc \cdot 2\omega_0} \{ K_1 + (1 - \lambda_0) K_2 + (1 - \lambda_0)^2 K_3 \} \\ &\quad + e^{-s} (e^{Npc \cdot 2\omega_0} - 1) \cdot 2j_i \omega_0 \cdot Npc^{-2} \cdot K_3 + e^{-s} j_i \omega_0 \cdot 2\omega_0 \cdot (K_2 + 2j_i \omega_0 \cdot Npc^{-1} \cdot K_3)] \\ &\quad \cdot (Npc - s)^{-1} \end{aligned}$$

$$\begin{aligned}
 & + \{ e^{-s} (e^{(2Npc-s)z_0} - 1) \cdot 3j\omega^2 \cdot Npc^{-2} \cdot K_3 \} (2Npc-s)^{-1} \\
 & - \{ e^{-s} (e^{(Npc-s)z_0} - 1) \cdot 3j\omega^2 \cdot Npc^{-2} \cdot K_3 \} (2Npc-s)^{-1} \\
 & - \{ e^{-s} (e^{(Npc-s)z_0} - 1) (j\omega \cdot K_2 + 2j\omega^2 \cdot Npc^{-1} \cdot K_2) \} (Npc-s)^{-2} \\
 & + \{ (1-e^{-s}) (e^{(Npc-s)z_0} - 1) \cdot 2j\omega^2 \cdot Npc^{-1} \cdot K_3 \} (2Npc-s)^{-1} (Npc-s)^{-1} \\
 & + K_I j\omega
 \end{aligned} \quad (3.4f)$$

4) $K_1 = Npc + Nfd^{-1} + Nfr j\omega^2$

$K_2 = Npc^2 + 2Npc \cdot Nfr j\omega^2$

$K_3 = Npc^2 + Nfr$

3. 流量制限裝置의 影響

3.1 靜特性曲線에서의 K_I 의 효과

3.1.1 靜特性曲線에서 K_I 의 영향

정상상태에서는 $j\omega = \lambda_0$ 이므로 (35)式에서 無次元數 및 변수는 $Npc, Nfd, Nfr, j\omega, K_I$ 5 가지이다.

靜特性曲線에 가장 영향이 큰 것은 無次元狀態變化数 Npc 이다. 이 우차원수는 (38)式에서 알 수 있는 바와 같이 壓力과 過程切度에 따라 변하며 系統压カ이 낮을수록 令却流体의 入口엔탈피 (h_i) 가 적을수록 커진다.

아래의 그림은 $\Delta P - j\omega$ 정특성 곡선이다.

Fig 3.1(a)는 $Nfd=10.0, Nfr=10.0, Npc=30.0$ 일 때 $K_I=0.0$ 과 $K_I=0.9$ 에 대해서 역시 나타낸 $\Delta P - j\omega$ 靜特性 曲선이다. 이 그림에서 $j\omega$ 가 0.3부근과 0.45보다 클 때 $K_I=0.0$ 곡선보다 $K_I=0.9$ 곡선이 미세하나마 상승 했음을 알 수 있다. 따라서 入口流量制限裝置를 設置하였을 경우에 安定性이 조금 좋아 진다 는 것을 알 수 있다.

Fig 3.1(b)는 $Nfd=300.0, Nfr=100.0, Npc=10.0$ 일 때 $K_I=0.0$ 과 $K_I=0.9$ 에 대해서 역시 나타낸 $\Delta P - j\omega$ 靜特性曲線이다. 이 그림에서는 $j\omega$ 가 0.6과 0.8보다 클 때 $K_I=0.0$ 곡선보다 $K_I=0.9$ 曲線이 미세하나마 상승하였음을 이 그림에서 알 수 있다. 이 그림에서

에서도 入口流量制限裝置를 설치 하였을 경우 미세하나마 安定性이 좋아졌다.

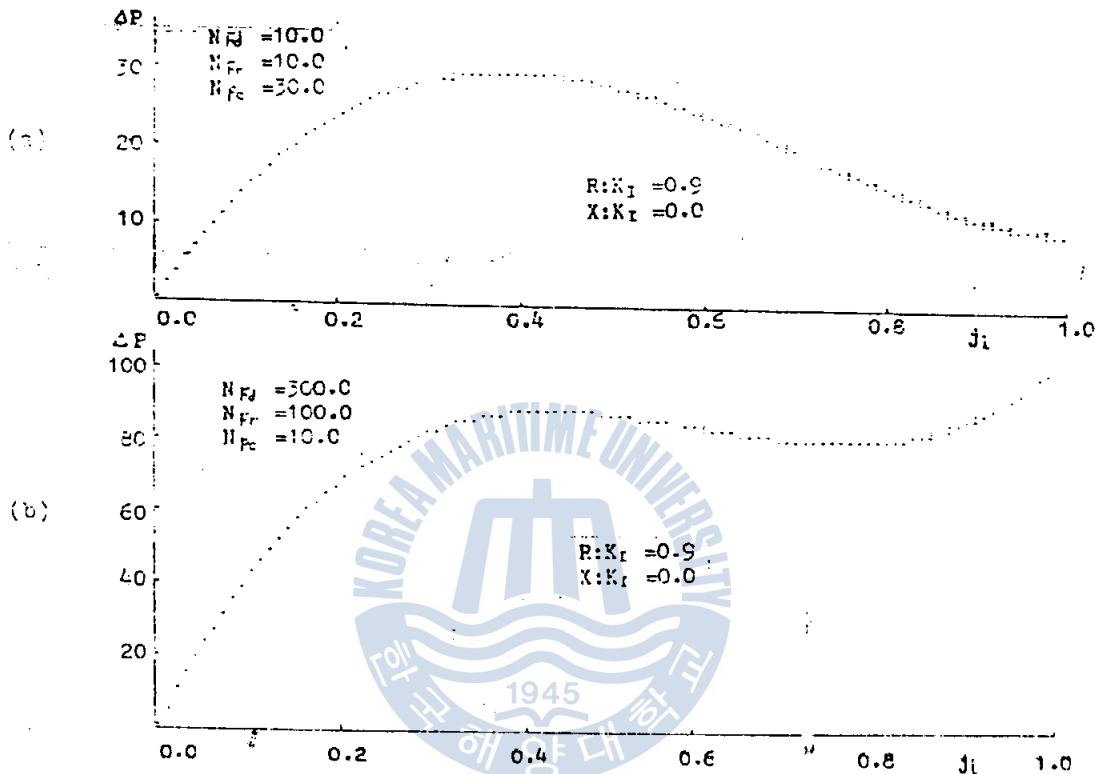


Fig 3.1 ΔP - j_1 curves to K_1 variation at steady state

Fig 3.1(a) 와 Fig 3.1(b) 를 종합하면 伝熱管에 入口流量制限裝置를 설치 하였을 경우 미세하나마 안정성이 좋아졌다는 것을 알 수 있다.

3.2 動特性에서 K_1 의效果

(44)式은 伝熱管入口에서 조그마한 차압변동이나 내부 압력 강하에 의해 管入口流速의 변동이 어떤 계 변동하는가를 나타내는 方程式으로 有限한 壓力변동에 대하여 流速이 무한하게 증대하면 그相流는 不安定해지고 無限히 작아지면 安定해진다.

流速이相當한 크기로 振動하는 安定斗不安定의 경계상태는 광의도는 안정하다고 하나, 自然界에

하기 만 하는 일은 없고 대개 有 限 한 振 動 現 象 으로
나타낸다.

따라서 유한한 진동현상이 불안정상태의 것인가
구별하기 험난하므로 이를 모두 불안정한 狀 態 으로
取扱한다.

실제로 並列伝熱管에서의 차압변동은 驅動 평판이나
중간밸브 操作으로 발생하고 내부압력강화의 변
동은 흐름양상의 변동이나 伝熱量 등이 변화할 때
誘起용으로 기기가 운전 중일 때는 언제나 이러한
압력변동은 存在한다고 볼 수 있다.

만약 (44)식의 쾌률을 求하기 힘들다.

그러나 制御工학에서 흔히 채용하는 Nyquist 안정 조
건을 적용하면 安定度는 電子計算機로 용이하게
구할 수 있다.

여기서는 入口 流量制限裝置가 우차원 2相流의 安
定度에 미치는 영향을 알아 보고자 한다.

(2.45)식으로 부터 開回路伝達函數 求하면 다음
식과 같다.

$$G_{op}(s) = G_{\sigma}(s) - 1$$

$G_{op}(s)$ 는 복소수평면 의해 右半面에 불안정根을 가
지고 있지 않으므로 Nyquist 軌跡이 (-1, 0j) 점을
감싸지 않으면 이 계통은 안정하고 만약 이 점
을 N회 감싸면 $G_{2\sigma}(s)$ 는 N개의 불안정한極을
(pole) 갖게 되어 이 계통은 불안정해진다. 따라서
無次元의 수 및 변수의 크기에 따라 Nyquist의 軌
跡이 (-1, 0j) 점에 얼마나 근접하느냐에 따라 2相
flow의 안정도를求할 수 있다.

3.2.1 動 特 性 에 서 K_I 의 영향

Fig 3.2은 $N_{Fd} = 0.02$, $N_{pc} = 0.03$, $N_{Fr} = 0.5$, $j\bar{x} = 0.3f$
인 경우의 수직전열판 K_I 가 변할 때의 Nyquist 선
도이다.

Fig 3.2 (a)는 (-1, 0j) 를 감싸고 있으므로 불안정
하나 K_I 가 증가함에 따라 전체적인 선도가 오른
쪽으로 이동하여 $K_I = 0.9$ 일 때는 안정하게 된다.

入口流量制限裝置를 설치하였을 경우에 안정성이
좋아짐을 나타내고 있다.

Fig 3.2을 分析 종합하면 入口流量制限 装置의 설치는 安全性을 좋게하는 것으로 나타난다. 이는 入口流量制限裝置가 液相영역에 존재하고 유속 변동을 의제하는 역할을 하므로 流体振動을 의제한다.

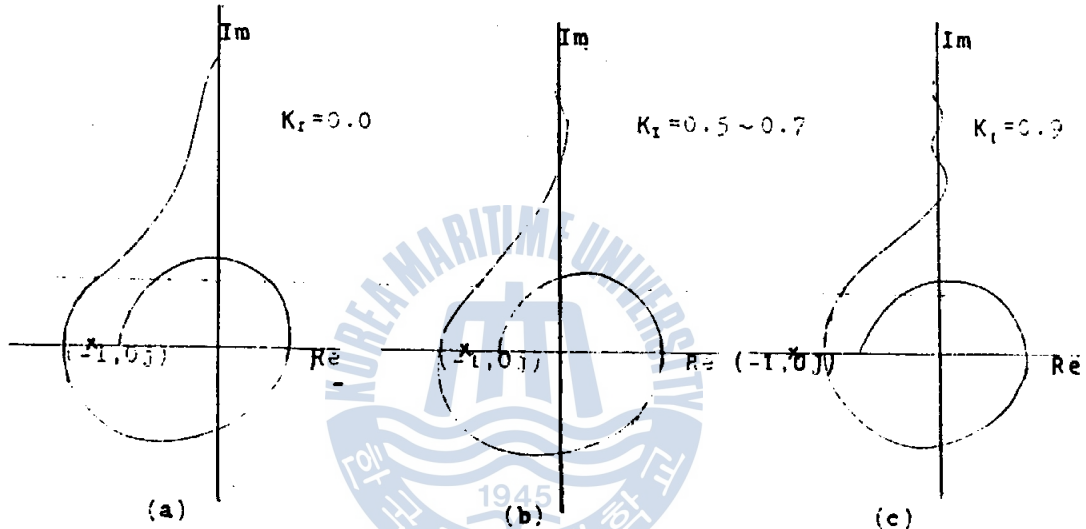


Fig 3.2 Nyquist diagram to K_t variation in a vertical heated channel. ($N_{fr} = 0.02, N_{pc} = 0.03, N_r = 0.5, j_k = 0.38$)

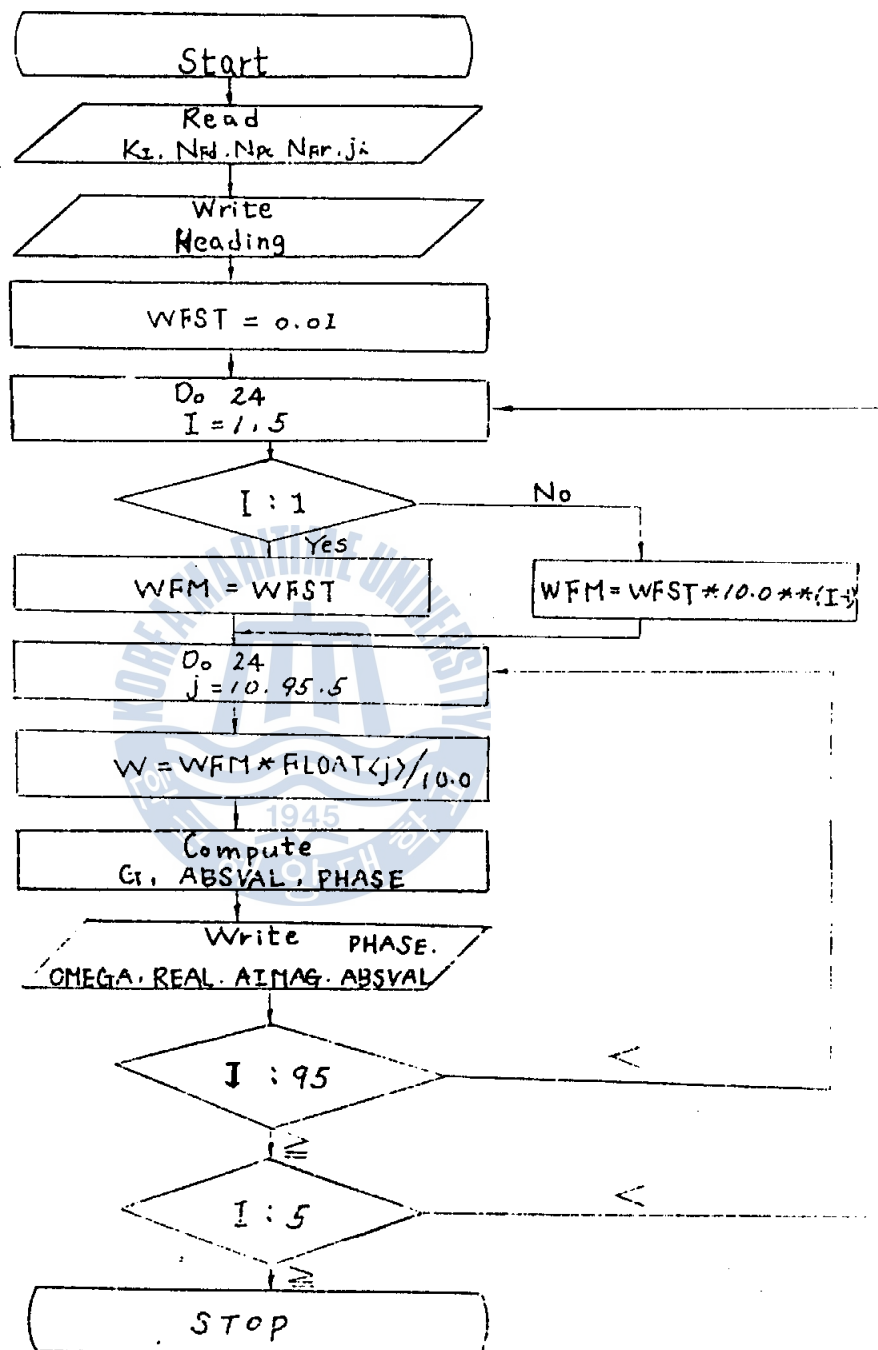


Fig 3.3 , Flow Chart of the dynamic characteristic

5. 結 論

伝熱管内の 2相流는 物質流라는 가정 아래, 入口
流量制限裝置가 설치된 경우에 密度波의 移送時
間을 고려한 無次元動特性 方程式을 유도하여
伝熱管入口에서의 流量制限裝置 효과에 대하여
定性的으로 分析하였다.

流体力学 및 热力学에 관계되는 몇 가지 파라메타를
無次元화하여 流体의 運動을 해석하면 機器를
設計할 때나 운용할 때 相似法을 적용하여 그 分析
結果를 응용하는데 편리한 이점이 있다.

본 分析方法과 結果를 利用하여 여러 가지 設計
및 運轉 조건에서 相利法測을 적용하면 入口流量
제限裝置의 設計에 도움이 될 것으로 생각된다.
本 研究의 結果를 요약하면 入口流量制限裝置는
靜特性動特性 모두 진동 발생을 예제하거나 抵動
範圍 등이 줄어들게 됨을 알 수 있었다.

参考文献

1. 村進吉, 河注植, “伝達管内에서 발생하는 2相流의 不安定性에 대한 研究”, 1982
韓國海洋大学 船舶工学研究所 論文集.
2. 金東根 “気泡二相流” 太和出版社, 1986
3. 鄭桂潤, “伝熱管에 서의 流体振動防止對策”, 韓
大 研究 (1986)

- 三 -

